

Эффективность использования противогриппозного донорского гамма-глобулина и лейкоцитарного интерферона для профилактики гриппа и ОРВИ в организованных дошкольных коллективах г. Тольятти

Препар- ат	Год работы	Возраст детей, лет	Число детей	Заболеваемость				Потеря дней на 100 детей		Коэффициент эпидемиологиче- ской защиты	Достоверность различия, Р
				опыт	контроль	опыт	контроль	опыт	контроль		
Гамма-глобулин	1976	до 2	160	229	25	15,6	60	26,2	155,6	315,3	1,67
		2—3	283	250	34	12,0	28	11,2	109,7	132,4	1,0
		3—7	353	1057	37	10,5	116	11,0	118,2	108,2	1,04
	1977	до 2	216	172	24	11,1	35	20,3	104,1	182,5	1,85
		2—3	322	184	27	8,4	38	20,6	63,6	156,2	2,47
		3—4	328	206	20	6,1	13	6,3	42,1	51,4	1,1
Интер- ферон	1976	3—7	617	1057	71	11,5	111	10,5	104,2	116,8	0,9
	1977	4—7	288	619	14	4,9	33	5,3	35,4	47,3	1,05

с целью профилактики применять специфический противогриппозный гамма-глобулин в дозе: 1 мл детям до 2 лет и 2 мл детям в возрасте от 2 до 3 лет.

При использовании в целях массовой профилактики в организованных детских коллективах лейкоцитарного человеческого интерферона в дозах, рекомендуемых инструкцией, а также в удвоенной концентрации, эффект не был достигнут. Кроме того, следует отметить, что применение интерферона с профилактической целью является очень трудоемким и дорогостоящим мероприятием.

ЛИТЕРАТУРА

- Бусуек Г. П., Гайлонская И. Н., Лозинская Т. М. и др. Вопр. вирусол., 1971, 2.— 2. Васильева Р. И. Профилактика гриппа с помощью средств пассивной иммунизации. Автореф. канд. дисс., М., 1975.— 3. Воротынцева Н. В., Барамыкова Г. П., Кузнецов В. П. Педиатрия, 1975, 1.— 4. Грабовский П. М., Барбашина В. К. Там же, 1976, 1.— 5. Ермолова З. В., Блинова Н. И., Фурер Н. М. Вопр. вирусол., 1971, 4.— 6. Красикова В. А., Поддубная А. Е., Ритова В. В. Педиатрия, 1977, 5.— 7. Резникова Н. П. Врач. дело, 1971, 7.— 8. Смородинцев А. А., Швецова Е. Г. Журн. микробиол., 1974, 4.— 9. Соловьев В. Д., Гутман Н. Р. Вопр. вирусол., 1976, 3.— 10. Счастный Э. И., Ритова В. В., Красикова В. А. и др. Вопр. охран. мат., 1978, 1.

Поступила 23 февраля 1979 г.

УДК 616.12—002.77—053.2—073.97

ФРАНКОВСКАЯ СИСТЕМА КОРРИГИРОВАННЫХ ОРТОГОНАЛЬНЫХ ОТВЕДЕНИЙ ЭКГ В ОБСЛЕДОВАНИИ ДЕТЕЙ С АКТИВНЫМ РЕВМАТИЧЕСКИМ ПРОЦЕССОМ

H. E. Бурба

Кафедра функциональной диагностики (зав.— доктор мед. наук Э. А. Озол) Казанского ГИДУВа им. В. И. Ленина

Р е ф е р а т. У 59 детей, больных ревматизмом в активной фазе без порока клапанов, исследованы ЭКГ, записанные в корrigированных ортогональных отведениях по Франку и в 12 обычных. Сопоставительный анализ показал высокую чувствительность франковской системы корrigированных ортогональных отведений в выявлении изменений в миокарде у детей, больных ревматизмом.

Ключевые слова: ревматизм, ЭКГ, ортогональные корригированные отведения.

2 рисунка. Библиография: 6 названий.

Целью настоящей работы явилось изучение ЭКГ в корригированных ортогональных отведениях при активном ревматическом процессе у детей без порока клапанов.

Нами обследовано 59 больных (28 девочек и 31 мальчик): 25 в возрасте от 3 до 7 лет и 34—от 8 до 15 лет. Первичный ревматизм был у 47 из них и возвратный—у 12. У 45 больных заболевание протекало с 1 ст. активности, у 10—со II и у 4—с III. У 7 детей развилась недостаточность кровообращения I ст. и у 1—II ст. У 14 больных было острое течение заболевания, у 28—подострое, у 11—затяжно-вялое и у 6—латентное. Продолжительность заболевания у 43 детей не превышала года, у 9 составляла от 1 до 2 лет и у 7—более 2—3 лет. У 27 детей заболевание сочеталось с хроническими очагами инфекции в носоглотке. Диагноз активного ревматического процесса основывался на клинических и лабораторных данных. Для контроля были использованы показатели ЭКГ 300 здоровых детей [6]. Электрокардиограммы мы регистрировали во франковской системе корригированных ортогональных отведений с обратной полярностью в отведении Z и в обычных отведениях [3]. Помимо измерения амплитуд и продолжительности зубцов, определяли ряд дополнительных показателей. В корригированных ортогональных отведениях вы-

числяли отношение $\frac{R_x}{S_x}$; $\frac{R_y}{S_y}$; $\frac{R_z(+R_z')}{S_z}$, сумму амплитуд $R_x + S_z$; $S_x + R_z(+R_z')$; $R_z + S_y + S_z$; индексы $\frac{R_x + S_y}{S_x + R_y}$; $\frac{R_x + S_z}{S_x + R_z(+R_z')}$; $\frac{R_x + S_y + S_z}{S_x + R_y + R_z(+R_z')}$; время внутреннеподобного отклонения в отведениях X и Z [3]. В 12 обычных отведениях учитывали $\widehat{\Delta QRS}$, отношение $\frac{R}{Q}$ baVR; $\frac{R}{S}$ bV₁; $\frac{R}{S}$ bV₅₋₆; $\frac{RV_1}{RV_6}$, индекс $\frac{RV_{5-6} + SV_{1-2}}{RV_{1-2} + SV_{5-6}}$; сумму амплитуд $RV_5 + SV_1$, время внутреннеподобного отклонения в V₁₋₂ и в V₅₋₆ [5].

Из 59 больных у 13 выявлено увеличение продолжительности зубца P в отведении X и у 11—в отведении Z. Двугорбый зубец P зарегистрирован в отведении X у 2 больных; у 7 оказалась сниженной амплитуда R в отведении X и амплитуда S в отведении Z. У 14 обследованных уменьшено отношение $\frac{R_x}{S_x}$ и у 4—отношение $\frac{R_z}{S_z}$. У 8 больных увеличено время внутреннеподобного отклонения в отведении Z и у 2—в отведении X. У 10 чел. снижена сумма $R_x + S_z$ и у 10—индекс $\frac{R_x + S_y}{S_x + R_y}$.

Индекс $\frac{R_x + S_z}{S_x + R_z(+R_z')}$ у 5 больных был меньше нормы и у 3—больше. Амплитуда зубца Т у 1 обследованного снижена в отведении X и у 1—в отведении Z.

Сравнение чувствительности трех корригированных ортогональных отведений с 12 обычными показало следующее. Изменения зубца P в ортогональных отведениях выявлены у 21 больного, в обычных—у 20, отклонения от нормы показателей комплекса QRS—соответственно у 37 и 34 больных; изменение амплитуды зубца T зарегистрировано у 2 больных как в ортогональных корригированных, так и в обычных отведениях.

На рис. 1 представлена ЭКГ больной К., 5 лет. Клинический диагноз: ревматизм первичный, I степень активности; миокардит; Но; течение болезни затяжно-вялое; хронический тонзиллит. В ортогональных отведениях констатировано увеличение

продолжительности P_x (0,09), уменьшение отношения $\frac{R_x}{S_x}$ (0,83), суммы $R_x + S_z$

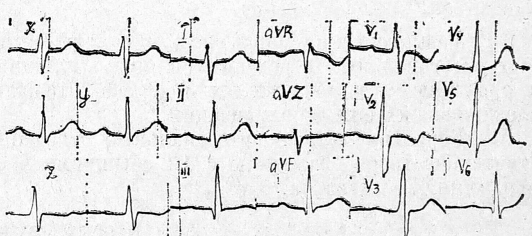


Рис. 1. ЭКГ больной К. Объяснение в тексте.

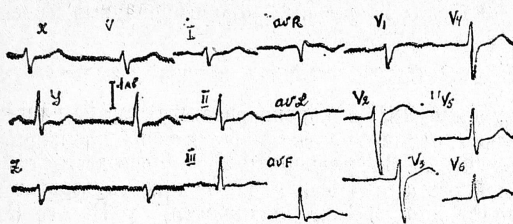


Рис. 2. ЭКГ больного X. Объяснение в тексте.

первичный, II—III степень активности; ревмокардит; Н₁; полиартрит, течение острое. В ортогональных отведениях зарегистрировано снижение амплитуды R_x (3,0), отношения $\frac{R_x}{S_x}$ (0,6) и суммы R_x + S_z (7,0), в 12 обычных—увеличение $\frac{R}{S}$ bv₁ (0,28).

Таким образом, у детей, больных ревматизмом в активной фазе без порока клапанов, обнаруживаются изменения в форме комплекса QRS, в амплитуде и продолжительности зубцов Q, R, S, в отношениях между этими зубцами, а также изменения индексов. Такое разнообразие сдвигов в различных параметрах ЭКГ можно объяснить характером поражения миокарда. При ревматизме у детей в миокарде возможны самые разнообразные воспалительные и последующие фиброзные изменения, имеющие достаточно вариабельную локализацию и распространенность [1, 2, 4]. Изменения могут сопровождаться уменьшением или даже отсутствием электрических сил деполяризации и, следовательно, нарушением баланса последних, что вызывает уменьшение величины амплитуд ряда зубцов и индексов ЭКГ и увеличение других. Отсутствием строгих закономерностей локализации и распространенности очагов воспаления и фиброза миокарда можно объяснить тот факт, что изменения зубцов и индексов ортогональной ЭКГ имеют довольно пестрый характер и могут быть у различных больных направлены то в сторону уменьшения, то в сторону увеличения.

Приведенные выше сопоставления свидетельствуют о более высокой чувствительности франковской системы корригированных ортогональных отведений по сравнению с обычными. Это можно объяснить тем, что корригированные ортогональные отведения с большей чистотой и точностью, чем обычные, регистрируют горизонтальные (X), вертикальные (Y) и сагittalные (Z) компоненты пространственной электродвижущей силы сердца. Поэтому при анализе ЭКГ в корригированных ортогональных отведениях оказалось возможным использовать не только величины амплитуд и продолжительности зубцов ЭКГ, но и целый ряд производных показателей (отношение амплитуд зубцов, их суммы и ряд индексов), которые отражают пространственные изменения электрических сил деполяризации.

ВЫВОДЫ

1. Ревматические поражения миокарда регистрируются на ЭКГ в корригированных ортогональных отведениях в виде различных изменений зубцов комплекса QRS и проявляются в показателях индексов, отражающих пространственные изменения электрических сил деполяризации.

2. Корригированные ортогональные отведения ЭКГ показали более высокую чувствительность по сравнению с 12 обычными в обследовании детей с ревматическими поражениями миокарда.

ЛИТЕРАТУРА

1. Долгополов А. В. Ревматизм у детей. М.-Л., Медицина, 1977.—2. Насонова В. А., Бронзов И. А. Ревматизм. М., Медицина, 1978.—3. Озол Э. А. Корригированные ортогональные отведения ЭКГ в клиническом анализе биоэлектрической активности сердца. Автореф. докт. дисс., Казань, 1971.—4. Орлова Н. В., Парижская Т. В. Приобретенные пороки сердца у детей. Л., Медицина, 1979.—5. Середа Г. Е. Электрокардиографические критерии гипертрофии желудочков при пороках сердца у детей. Автореф. канд. дисс., М., 1973.—6. Чучелина Л. А. Казанский мед. ж., 1973, 3.

(10,0), а также индексов $\frac{R_x + S_y}{S_x + R_y}$ (0,38), $\frac{R_x + S_z}{S_x + R_z (+R_z')}$ (0,66), $\frac{R_x + S_x + S_z}{S_x + R_y + R_z (+R_z')}$ (0,44).

В обычных отведениях отклонений от нормы нет.

На рис. 2 приведена электрокардиограмма больного X., 10 лет. Клинический диагноз: ревматизм

II—III степень активности; ревмокардит; Н₁; полиартрит, течение острое.

В ортогональных отведениях зарегистрировано снижение амплитуды R_x (3,0),

отношения $\frac{R_x}{S_x}$ (0,6) и суммы R_x + S_z (7,0), в 12 обычных—увеличение $\frac{R}{S}$ bv₁ (0,28).

На

Поступила 27 марта 1979 г.